

---

# Electromagnetismo 1

- ⚡ O Teorema de Helmholtz
- ⚡ Condições de contorno
- ⚡ O potencial elétrico
- ⚡ Trabalho e energia



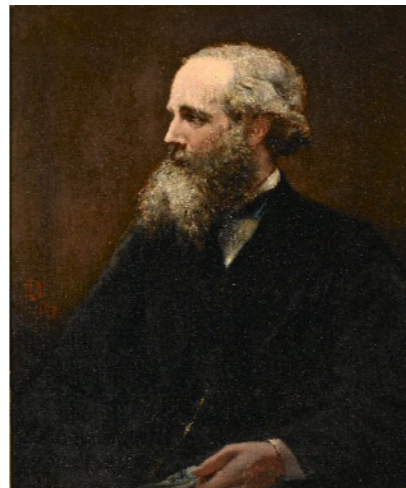
# Equações de Maxwell

Lei de Faraday

$$\nabla \times \mathbf{E} + \frac{\partial \mathbf{B}}{\partial t} = 0$$

Lei de Gauss

$$\nabla \cdot \mathbf{E} = \frac{1}{\epsilon_0} \rho$$



Lei de Gauss p/  $\vec{B}$

$$\nabla \cdot \mathbf{B} = 0$$

Lei de Ampère

$$\nabla \times \mathbf{B} - \epsilon_0 \mu_0 \frac{\partial \mathbf{E}}{\partial t} = \mu_0 \mathbf{J}$$

Eq. da continuidade

$$\frac{\partial \rho}{\partial t} + \nabla \cdot \mathbf{J} = 0$$

Força de Lorentz

$$\mathbf{F} = q(\mathbf{E} + \mathbf{v} \times \mathbf{B})$$

# Lei de Gauss & Eletrostática

- A equação mais básica do Eletromagnetismo é a **Lei de Gauss**:

$$\vec{\nabla} \cdot \vec{E} = -\nabla^2 \phi = \frac{1}{\epsilon_0} \rho(\vec{x}) \quad , \quad \text{com } \vec{E} = -\vec{\nabla} \phi \quad .$$

- Nós vimos, na aula passada (e vocês já viram isso nas disciplinas de Física básica) que a solução é:

$$\phi(\vec{x}) = \frac{1}{4\pi \epsilon_0} \int d^3x' \frac{\rho(\vec{x}')}{|\vec{x} - \vec{x}'|} \quad .$$

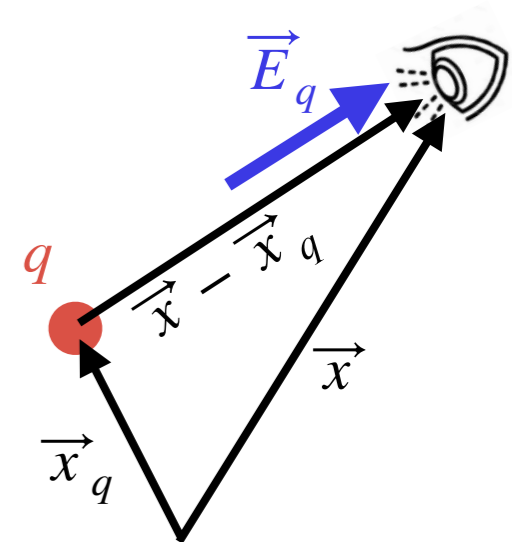
- Além disso, podemos expressar a densidade de carga (uma **distribuição**) como uma soma de cargas pontuais:

$$\rho(\vec{x}) = \sum_i q_i \delta(\vec{x} - \vec{x}_i)$$

- Para uma **carga pontual** o campo elétrico é dado por:

$$\vec{E}_q = -\vec{\nabla} \phi_q(\vec{x}) = -\vec{\nabla} \left( \frac{1}{4\pi \epsilon_0} \frac{q}{|\vec{x} - \vec{x}_q|} \right) = \frac{q}{4\pi \epsilon_0} \frac{\vec{x} - \vec{x}_q}{|\vec{x} - \vec{x}_q|^3}$$

- Porém, antes de começar a dar exemplos disso, como podemos saber se a solução acima é **única**?



# O Teorema de Helmholtz

- Dito de outro modo, dada **apenas** a equação:

$$\vec{\nabla} \cdot \vec{E} = \frac{1}{\epsilon_0} \rho(\vec{x}) ,$$

é possível encontrar uma **solução que seja única?**

- A resposta é... não!! Na verdade, nós podemos adicionar a qualquer campo  $\vec{E}$  que seja solução, um outro campo  $\vec{H}$  que resolve a **equação homogênea**,  $\vec{\nabla} \cdot \vec{H} = 0$ , ou seja,

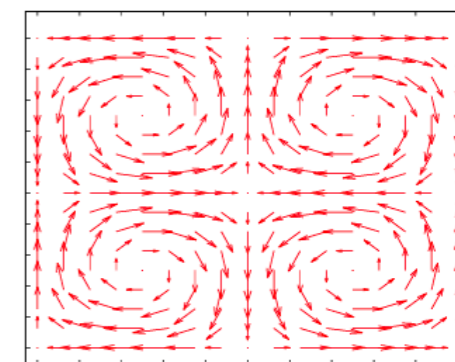
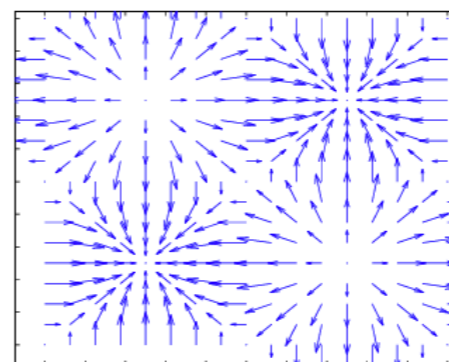
$$\vec{\nabla} \cdot (\vec{E} + \vec{H}) = \frac{1}{\epsilon_0} \rho(\vec{x}) + 0 .$$

- Entretanto, se especificarmos não apenas o **divergente** do campo, mas também o seu **rotacional**, daí as equações têm (basicamente...) uma **solução única!**

- Em outras palavras, para qualquer campo  $\vec{F}$ , uma vez que especificamos:

$$\vec{\nabla} \cdot \vec{F} = S_{\text{div}}$$

$$\vec{\nabla} \times \vec{F} = \vec{S}_{\text{rot}} ,$$



então, aí sim, há uma **solução única para  $\vec{F}$** . Quem diz isso é o **Teorema de Helmholtz**.

# O Teorema de Helmholtz

- Nós vamos mostrar que, dado o par de equações:

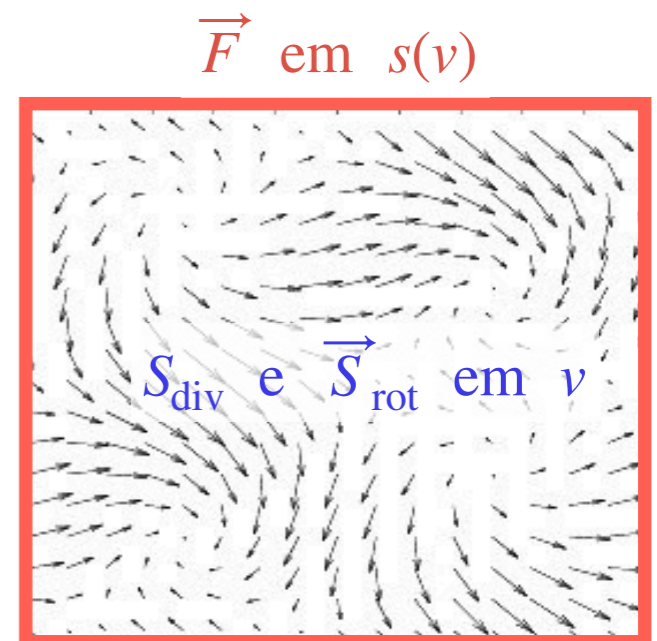
$$\vec{\nabla} \cdot \vec{F} = S_{\text{div}} \quad \text{and} \quad \vec{\nabla} \times \vec{F} = \vec{S}_{\text{rot}},$$

então a **solução única** para o campo vetorial  $\vec{F}$  é dada por:

$$\vec{F} = -\vec{\nabla}\Psi + \vec{\nabla} \times \vec{T}, \quad \text{onde}$$

$$\Psi = \frac{1}{4\pi} \int_{\nu} d^3x' \frac{S_{\text{div}}(\vec{x}')}{|\vec{x} - \vec{x}'|} - \frac{1}{4\pi} \oint_{s(\nu)} d\vec{s}' \cdot \frac{\vec{F}(\vec{x}')}{|\vec{x} - \vec{x}'|}, \quad \text{e}$$

$$\vec{T} = \frac{1}{4\pi} \int_{\nu} d^3x' \frac{\vec{S}_{\text{rot}}(\vec{x}')}{|\vec{x} - \vec{x}'|} - \frac{1}{4\pi} \oint_{s(\nu)} d\vec{s}' \times \frac{\vec{F}(\vec{x}')}{|\vec{x} - \vec{x}'|}$$



- Portanto, é necessário especificar não só as **fontes** do divergente e do rotacional **no volume**  $\nu$ , mas também o **comportamento do próprio campo** ( $\vec{F}$ ) na **borda** (a superfície  $s$  que engloba o volume)! Isso pode parecer esquisito, mas as razões para isso ficarão claras mais adiante.

# O Teorema de Helmholtz

- Para demonstrar esse teorema vamos começar recordando um dos resultados da aula passada:

$$\vec{\nabla} \frac{1}{|\vec{x} - \vec{x}'|} = - \frac{\vec{x} - \vec{x}'}{|\vec{x} - \vec{x}'|^3}, \text{ de forma que}$$

$$\vec{\nabla} \cdot \left( \vec{\nabla} \frac{1}{|\vec{x} - \vec{x}'|} \right) = -4\pi \delta(\vec{x} - \vec{x}')$$

- Isso permite que nós possamos utilizar as propriedades da função  $\delta$  de Dirac e re-escrever o campo na seguinte forma:

$$\begin{aligned} \vec{F}(\vec{x}) &= \int_{\mathcal{V}} d^3x' \vec{F}(\vec{x}') \delta(\vec{x} - \vec{x}') = -\frac{1}{4\pi} \int_{\mathcal{V}} d^3x' \vec{F}(\vec{x}') \vec{\nabla}_x^2 \frac{1}{|\vec{x} - \vec{x}'|} \\ &= -\frac{1}{4\pi} \vec{\nabla}_x^2 \int_{\mathcal{V}} d^3x' \frac{\vec{F}(\vec{x}')}{|\vec{x} - \vec{x}'|} \end{aligned}$$

- Por outro lado, nós sabemos que  $\vec{\nabla} \times (\vec{\nabla} \times \vec{A}) = \vec{\nabla}(\vec{\nabla} \cdot \vec{A}) - \vec{\nabla}^2 \vec{A}$ , portanto essa equação fica:

$$\vec{F}(\vec{x}) = -\frac{1}{4\pi} \vec{\nabla}_x \cdot \underbrace{\left( \vec{\nabla}_x \cdot \int_{\mathcal{V}} d^3x' \frac{\vec{F}(\vec{x}')}{|\vec{x} - \vec{x}'|} \right)}_{\textcircled{1}} + \frac{1}{4\pi} \vec{\nabla}_x \times \underbrace{\left( \vec{\nabla}_x \times \int_{\mathcal{V}} d^3x' \frac{\vec{F}(\vec{x}')}{|\vec{x} - \vec{x}'|} \right)}_{\textcircled{2}}$$

# O Teorema de Helmholtz

- O primeiro termo pode ser "trabalhado" até ficar numa forma mais graciosa:

$$\begin{aligned}\textcircled{1} &= \int_V d^3x' \vec{\nabla}_x \cdot \frac{\vec{F}(\vec{x}')}{|\vec{x} - \vec{x}'|} = \int_V d^3x' \vec{F}(\vec{x}') \cdot \vec{\nabla}_x \frac{1}{|\vec{x} - \vec{x}'|} = \int_V d^3x' \vec{F}(\vec{x}') \cdot \left(-\vec{\nabla}_{x'}\right) \frac{1}{|\vec{x} - \vec{x}'|} \\ &= - \int_V d^3x' \vec{\nabla}_{x'} \cdot \left[ \frac{\vec{F}(\vec{x}')}{|\vec{x} - \vec{x}'|} \right] + \int_V d^3x' \left[ \vec{\nabla}_{x'} \cdot \vec{F}(\vec{x}') \right] \frac{1}{|\vec{x} - \vec{x}'|} \\ &= - \oint_{s(V)} d\vec{s}' \cdot \left[ \frac{\vec{F}(\vec{x}')}{|\vec{x} - \vec{x}'|} \right] + \int_V d^3x' \left[ S_{\text{div}}(\vec{x}') \right] \frac{1}{|\vec{x} - \vec{x}'|} = 4\pi \Psi \quad !!!\end{aligned}$$

Integral por partes

- De forma inteiramente análoga, você pode mostrar (**mostre!**) que:

$$\begin{aligned}\textcircled{2} &= \int_V d^3x' \vec{\nabla}_x \times \frac{\vec{F}(\vec{x}')}{|\vec{x} - \vec{x}'|} \\ &= - \oint_{s(V)} d\vec{s}' \times \left[ \frac{\vec{F}(\vec{x}')}{|\vec{x} - \vec{x}'|} \right] + \int_V d^3x' \left[ \vec{S}_{\text{rot}}(\vec{x}') \right] \frac{1}{|\vec{x} - \vec{x}'|} = 4\pi \vec{T} \quad !!!\end{aligned}$$

# O Teorema de Helmholtz

- Portanto, chegamos ao resultado que:

$$\vec{F}(\vec{x}) = -\frac{1}{4\pi} \vec{\nabla}_x \textcircled{1} + \frac{1}{4\pi} \vec{\nabla}_x \times \textcircled{2}$$

$$\Rightarrow \vec{F}(\vec{x}) = -\vec{\nabla}_x \Psi + \vec{\nabla}_x \times \vec{T}$$

- O caso mais familiar é a **eletrostática**, com **condições de contorno** tais que  $\vec{E} \rightarrow 0$  quando  $x \rightarrow \infty$ . Temos então que  $S_{\text{div}} \rightarrow \rho/\epsilon_0$ ,  $\vec{S}_{\text{rot}} \rightarrow 0$ , e  $\Psi \rightarrow \phi$ , com o resultado:

$$\vec{E}(\vec{x}) = -\vec{\nabla}_x \phi = -\vec{\nabla}_x \left[ \frac{1}{4\pi \epsilon_0} \int d^3x' \frac{\rho(\vec{x}')}{|\vec{x} - \vec{x}'|} \right]$$

- Na **magnetostática**, também sob as condições de contorno  $\vec{B} \rightarrow 0$  quando  $x \rightarrow \infty$ , temos que  $S_{\text{div}} \rightarrow 0$ ,  $\vec{S}_{\text{rot}} \rightarrow \mu_0 \vec{J}$  e  $\vec{T} \rightarrow \vec{A}$  (o *potencial-vetor*), com o resultado:

$$\vec{B}(\vec{x}) = \vec{\nabla}_x \times \vec{A} = \vec{\nabla}_x \times \left[ \frac{\mu_0}{4\pi} \int d^3x' \frac{\vec{J}(\vec{x}')}{|\vec{x} - \vec{x}'|} \right]$$



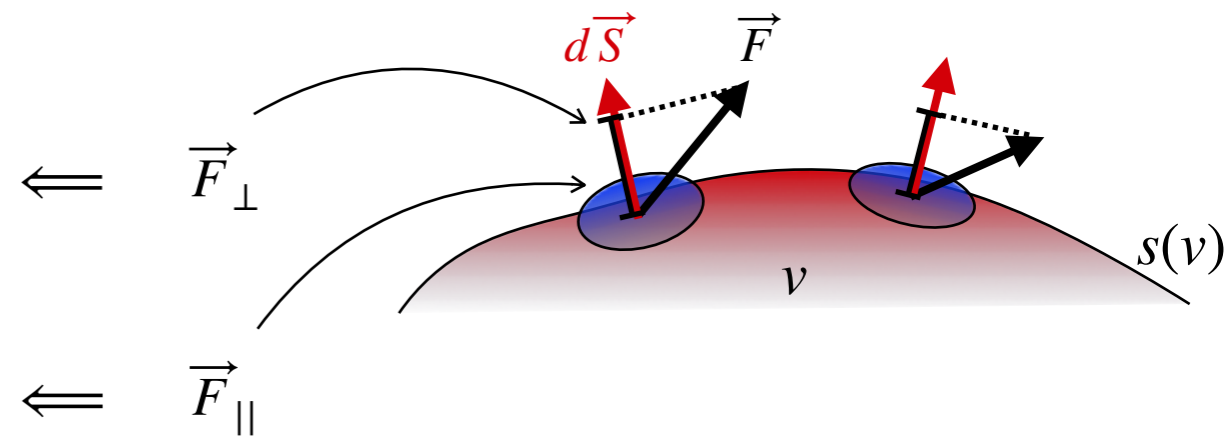
# Condições de contorno

- O Teorema de Helmholtz ressalta o fato de que sempre, **sempre, SEMPRE** precisamos especificar as **condições de contorno** dos campos:

$$\vec{F} = -\vec{\nabla}\Psi + \vec{\nabla} \times \vec{T} \quad , \quad \text{com}$$

$$\Psi = \frac{1}{4\pi} \int_v d^3x' \frac{S_{\text{div}}(\vec{x}')}{|\vec{x} - \vec{x}'|} - \frac{1}{4\pi} \oint_{s(v)} d\vec{s}' \cdot \frac{\vec{F}(\vec{x}')}{|\vec{x} - \vec{x}'|}$$

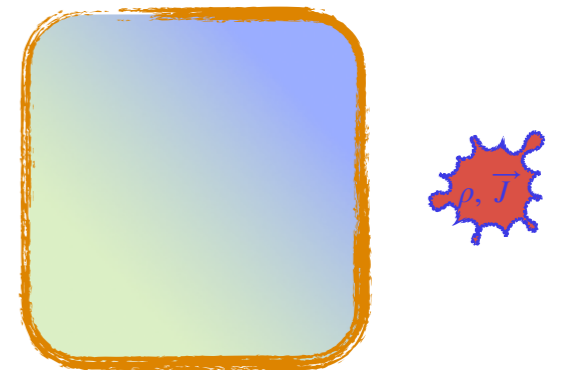
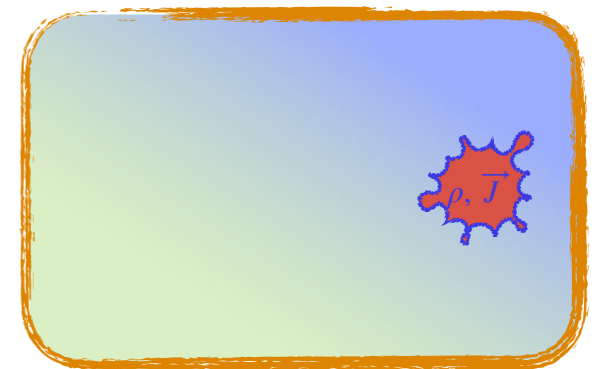
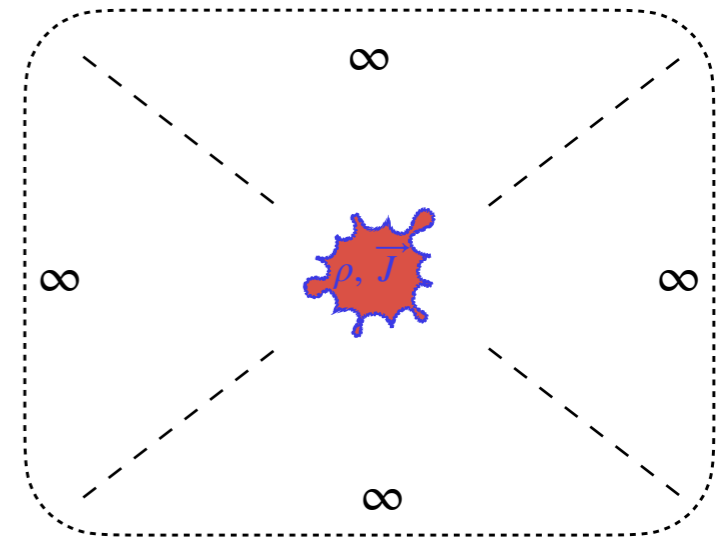
$$\vec{T} = \frac{1}{4\pi} \int_v d^3x' \frac{\vec{S}_{\text{rot}}(\vec{x}')}{|\vec{x} - \vec{x}'|} - \frac{1}{4\pi} \oint_{s(v)} d\vec{s}' \times \frac{\vec{F}(\vec{x}')}{|\vec{x} - \vec{x}'|}$$



- Note que nós podemos adicionar quaisquer constantes aos "potenciais":  $\Psi \rightarrow \Psi + c, \vec{T} \rightarrow \vec{T} + \vec{d}$
- Portanto, além da fonte ( $\vec{S}_{\text{div}}$ ) é necessário também conhecer a **componente perpendicular à superfície** (e paralela a  $d\vec{S}$ ) do campo para especificar a **componente relacionada ao divergente**  $\Psi$  ( $\rightarrow \phi$ );
- Similarmente, além da fonte ( $\vec{S}_{\text{rot}}$ ), a componente **paralela à superfície** (perpendicular a  $d\vec{S}$ ) precisa ser especificada para determinar a **componente rotacional**  $\vec{T}$  ( $\rightarrow \vec{A}$ ).

# Condições de contorno

- A situação mais simples é aquela na qual devemos encontrar os campos electromagnéticos numa vizinhança de fontes (cargas e correntes) que estejam **completamente isoladas**. Nesse caso temos que o volume  $v \rightarrow \mathbb{R}^3$ , e a "borda" é empurrada "para o infinito", então naturalmente tomamos  $\vec{F} \rightarrow 0$  em  $|\vec{x} - \vec{x}'| \rightarrow \infty$ .
- Uma outra situação comum é quando colocamos as fontes na vizinhança de **condutores, isolantes ou meios magnéticos**, que limitam de alguma forma o valor dos campos electromagnéticos nas superfícies (internas ou externas) desses materiais.



# O potencial elétrico

- Quando temos cargas elétricas estáticas, as Equações de Maxwell se reduzem a:

$$\vec{\nabla} \cdot \vec{E} = \frac{\rho}{\epsilon_0} \quad , \quad \vec{\nabla} \times \vec{E} = 0$$

- Na ausência de condições de contorno não-triviais (ou seja, se  $\vec{E} \rightarrow 0$  com  $x \rightarrow \infty$ ), a solução é simplesmente:

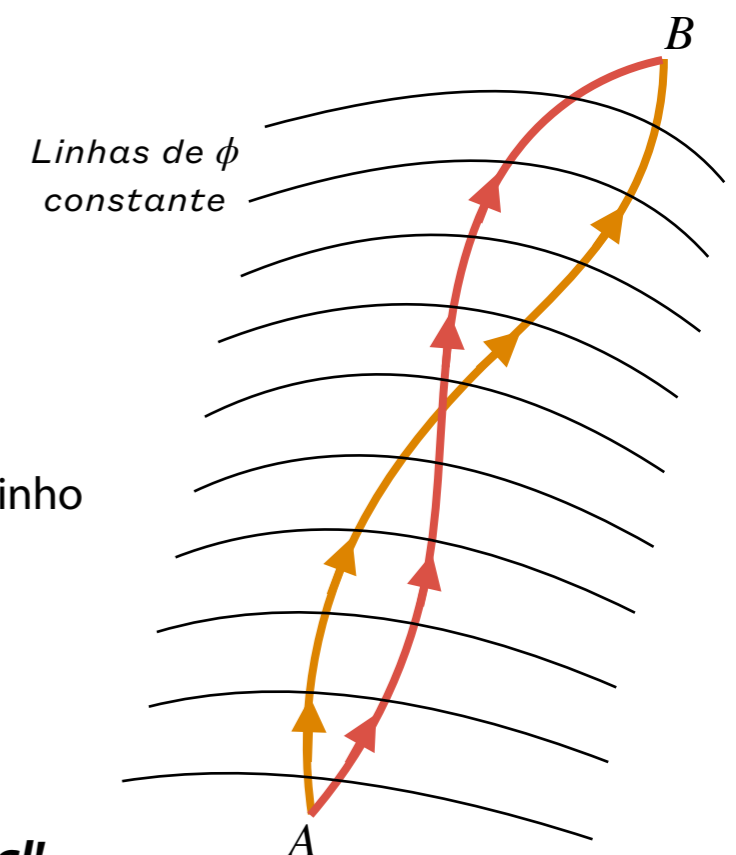
$$\vec{E}(\vec{x}) = -\vec{\nabla} \phi \quad ,$$

$$\phi(\vec{x}) = \frac{1}{4\pi \epsilon_0} \int d^3x' \frac{\rho(\vec{x}')}{|\vec{x} - \vec{x}'|}$$

- Nesse caso, o campo eletrostático é o **gradiente** de uma **função escalar** ( $\phi$ ).
- Uma das propriedades do gradiente é que, se integramos um gradiente ao longo de um caminho  $d\vec{l}$ , podemos pensar no gradiente como  $\vec{\nabla} \rightarrow \hat{l} d/dl$ , e então:

$$\int_A^B d\vec{l} \cdot \vec{\nabla} \phi = \phi(B) - \phi(A) \quad ,$$

ou seja, a integral do gradiente retorna a **diferença da função entre os pontos final e inicial!**



# O potencial elétrico

- Essa propriedade está ligada à noção de **trabalho** feito pelo campo elétrico. Para ver isso, vamos tomar a **Força de Lorentz**:

$$\vec{F}_L = q \left( \vec{E} + \vec{v} \times \vec{B} \right)$$

- No caso em que temos apenas um campo elétrico, o **trabalho feito pelo campo sobre uma carga pontual**  $q$  é dado por:

$$W_{AB} = \int_A^B d\vec{l} \cdot (q \vec{E}) = -q \int_A^B d\vec{l} \cdot \vec{\nabla} \phi = -q \Delta \phi_{AB}$$

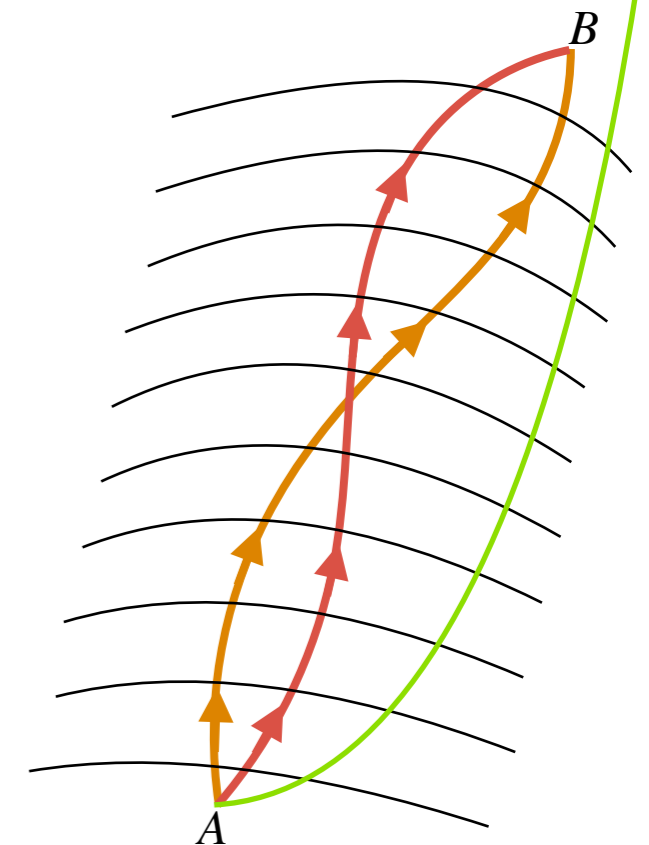
$$\Rightarrow W_{AB} = q (\phi_A - \phi_B)$$

- Em particular, o trabalho necessário para mover essa carga até o **infinito** é dada por:

$$W_{A \rightarrow \infty} = q \phi_A$$

- Isso significa que podemos **associar uma energia potencial a qualquer ponto**:

$$W_{A \rightarrow \infty} \rightarrow U(\vec{x}_A) \quad \Rightarrow \quad \vec{F}(\vec{x}_A) = - \left[ \vec{\nabla} U \right]_{\vec{x}_A} = -q \left[ \vec{\nabla} \phi \right]_{\vec{x}_A} = q E(\vec{x}_A)$$



# Unidades

- Neste momento nós temos que discutir a questão de **unidades**.

- **Lei de Coulomb:**

$$\vec{F}_{q_1 q_2} = \frac{1}{4\pi \epsilon_0} q_1 q_2 \frac{\hat{r}}{r^2} \quad , \quad \epsilon_0 = 8.85 \times 10^{-12} \frac{\text{C}^2}{\text{Nm}^2} \quad , \quad 1\text{C} = 6.2 \times 10^{18} e$$

- **Campo Elétrico:**

$$\vec{F}_q = q\vec{E} \quad \Rightarrow \quad [E] = \frac{N}{C}$$

- **Potencial Elétrico:**

$$\vec{E} = -\vec{\nabla}\phi \quad \Rightarrow \quad [\phi] = [E]m = \frac{Nm}{C} = \text{V (Volt)}$$

$$1 \text{ V} = \frac{Nm}{C} = \frac{Nm/s}{C/s} = \frac{W}{A} \quad (\text{Watts/Ampère}) \quad , \quad \text{com} \quad [E] = \frac{V}{m}$$

- Exemplo: uma **faísca** produz campos de magnitudes  $10^3 - 10^4 \text{ V/m}$



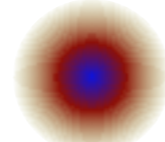
# Alguns exemplos

Coordenadas esféricas:

$$\vec{\nabla} \phi = \hat{r} \frac{\partial \phi}{\partial r} + \hat{\theta} \frac{1}{r} \frac{\partial \phi}{\partial \theta} + \hat{\varphi} \frac{1}{r \sin \theta} \frac{\partial \phi}{\partial \varphi}$$

$$\vec{\nabla} \cdot \vec{E} = \frac{1}{r^2} \frac{\partial r^2 E_r}{\partial r} + \frac{1}{r \sin \theta} \left[ \frac{\partial \sin \theta E_\theta}{\partial \theta} + \frac{\partial E_\varphi}{\partial \varphi} \right]$$

- Vamos esquentar os motores lidando com algumas situações bem simples.
- **#1:** Primeiro, vamos calcular o campo elétrico de uma configuração **esfericamente simétrica** de cargas,  $\rho(r)$ .

$$\vec{\nabla} \cdot \vec{E} = -\nabla^2 \phi = \frac{\rho(r)}{\epsilon_0}, \quad \rho(r) \rightarrow \text{img}$$


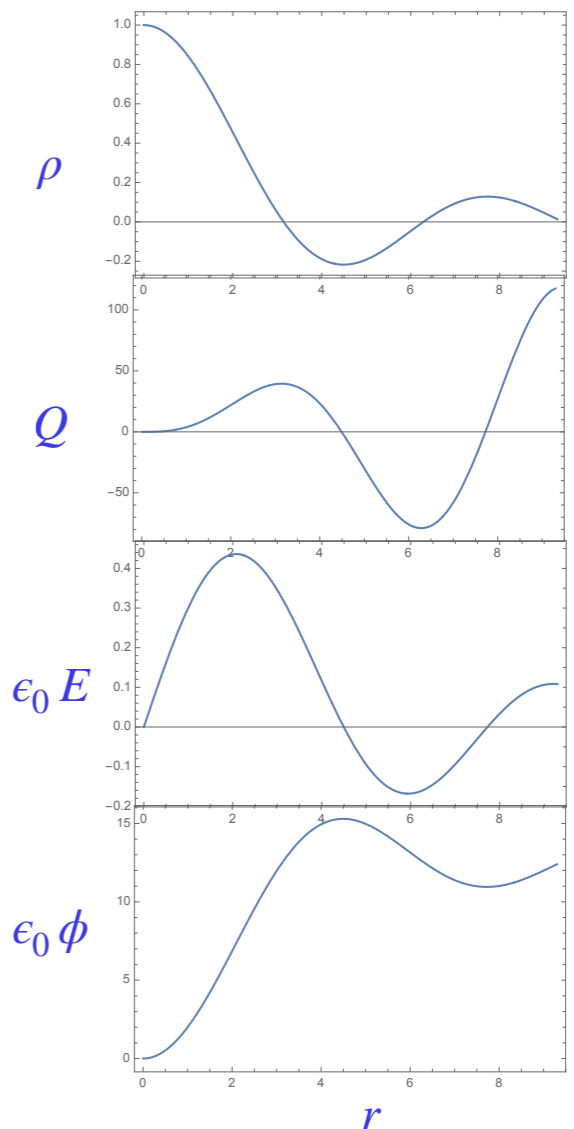
- Usando a simetria esférica, tomamos a forma integral da Lei de Gauss numa esfera de raio  $r$ :

$$\oint_r d\vec{S} \cdot \vec{E} = \frac{Q(r)}{\epsilon_0}, \quad \text{o que nos permite determinar:}$$

$$4\pi r^2 E_r(r) = \frac{Q(r)}{\epsilon_0}, \quad \text{onde } Q(r) = 4\pi \int_0^r dr' r'^2 \rho(r')$$

- Podemos também calcular o potencial, usando o fato que, com a simetria esférica, temos:

$$-\frac{\partial}{\partial r} \phi(r) = E_r(r) \quad \Rightarrow \quad \phi(r) = -\frac{1}{4\pi\epsilon_0} \int_0^r dr' \frac{Q(r')}{r'^2}$$



# Alguns exemplos

Coordenadas cilíndricas:

$$\vec{\nabla} \phi = \hat{s} \frac{\partial \phi}{\partial s} + \hat{\phi} \frac{1}{s} \frac{\partial \phi}{\partial \varphi} + \hat{z} \frac{\partial \phi}{\partial z}$$

$$\vec{\nabla} \cdot \vec{E} = \frac{1}{s} \frac{\partial s E_s}{\partial s} + \frac{1}{s} \frac{\partial E_\varphi}{\partial \varphi} + \frac{\partial E_z}{\partial z}$$

- #2: Vamos agora lidar com um exemplo com **simetria axial** (cilíndrica) [ notação:  $s \rightarrow \rho$  ]:

$$\vec{\nabla} \cdot \vec{E} = -\nabla^2 \phi = \frac{\rho(s)}{\epsilon_0}, \quad \text{ou seja, a densidade de carga não depende nem de } z \text{ nem de } \varphi$$

- Usando a simetria axial no volume de um cilindro de raio  $s$ , escrevemos a Lei de Gauss como:

$$\oint_s d\vec{S} \cdot \vec{E} = \frac{Q(s)}{\epsilon_0}, \quad \text{com } \vec{E} = \hat{s} E_s$$

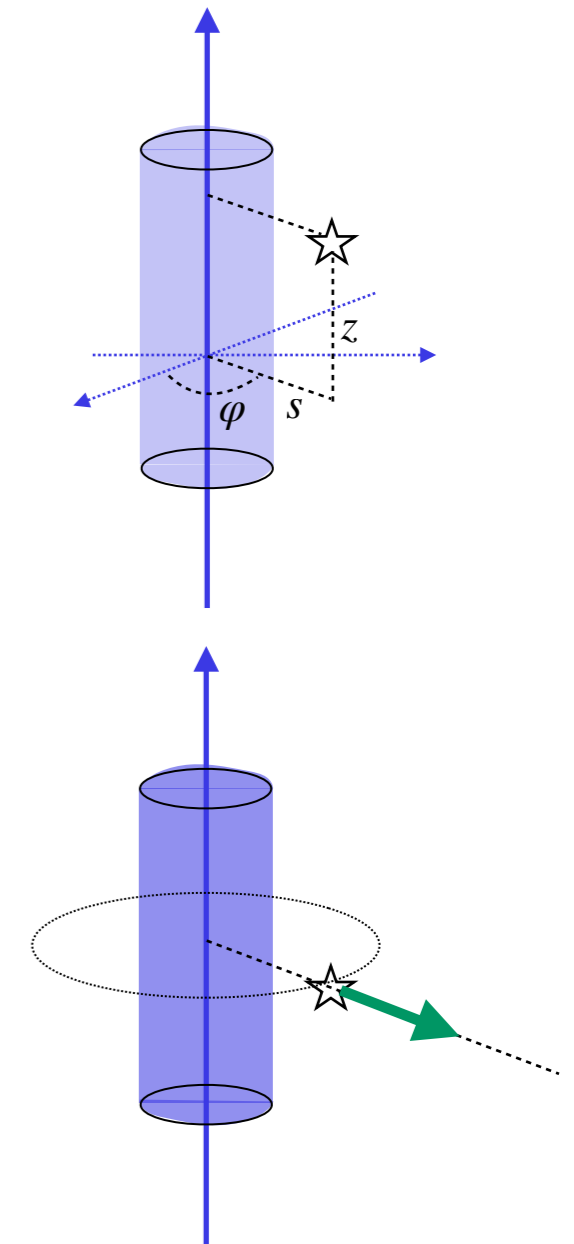
- Note que neste caso tanto o volume quanto a carga dentro desse volume podem **divergir!**
- Mesmo assim, o **campo não se torna infinito**. Vamos tomar o caso de um **cilindro muito longo**, de altura  $Z$ , para o qual desprezamos a contribuição do topo e da base do cilindro:

$$(2\pi s Z) E_s = \frac{Z}{\epsilon_0} 2\pi \int_0^s ds' s' \rho(s'), \equiv \frac{Z \pi}{\epsilon_0} \lambda(s) \implies E_s = \frac{1}{\epsilon_0} \frac{\lambda(s)}{2s}$$

- O potencial pode ser calculado da mesma forma que antes:

$$-\frac{\partial}{\partial s} \phi(s) = E_s(s) \implies \phi(s) = -\frac{1}{2\epsilon_0} \int_0^s ds' \frac{\lambda(s')}{s'}$$

- Note que, a menos que a densidade linear de cargas  $\lambda \rightarrow 0$  for  $s \rightarrow \infty$ , temos  $|\phi| \rightarrow \infty$  !! Por que??...



# Alguns exemplos

Coordenadas Cartesianas:

$$\vec{\nabla} \phi = \hat{x} \frac{\partial \phi}{\partial x} + \hat{y} \frac{\partial \phi}{\partial y} + \hat{z} \frac{\partial \phi}{\partial z}$$

$$\vec{\nabla} \cdot \vec{E} = \frac{\partial E_x}{\partial x} + \frac{\partial E_y}{\partial y} + \frac{\partial E_z}{\partial z}$$

- **#3:** simetria planar/Cartesiana
- Neste caso assumimos que a densidade de carga depende apenas de uma das dimensões (digamos,  $z$ ),  $\rho = \rho(z)$
- Usando a simetria no plano  $x - y$ , a Lei de Gauss no volume de um “tijolo” de lados  $x - y - z$  temos:

$$\oint_S d\vec{S} \cdot \vec{E} = \frac{Q(z)}{\epsilon_0} \quad , \quad \text{com } \vec{E} = \hat{z} E_z$$

- Novamente, o volume (e as cargas) podem **divergir**, já que a área total do plano  $x-y$  diverge. Entretanto, o **campo não deve explodir em nenhum ponto** (desde que  $\rho$  seja finito).
- Agora temos de especificar cuidadosamente qual é o volume fechado que estamos considerando.
- Aqui vamos assumir que o volume vai de  $z = -\infty$  até uma posição  $z$ . Vamos expressar a área no plano  $x - y$  como sendo  $A$ , o que torna a integral acima:

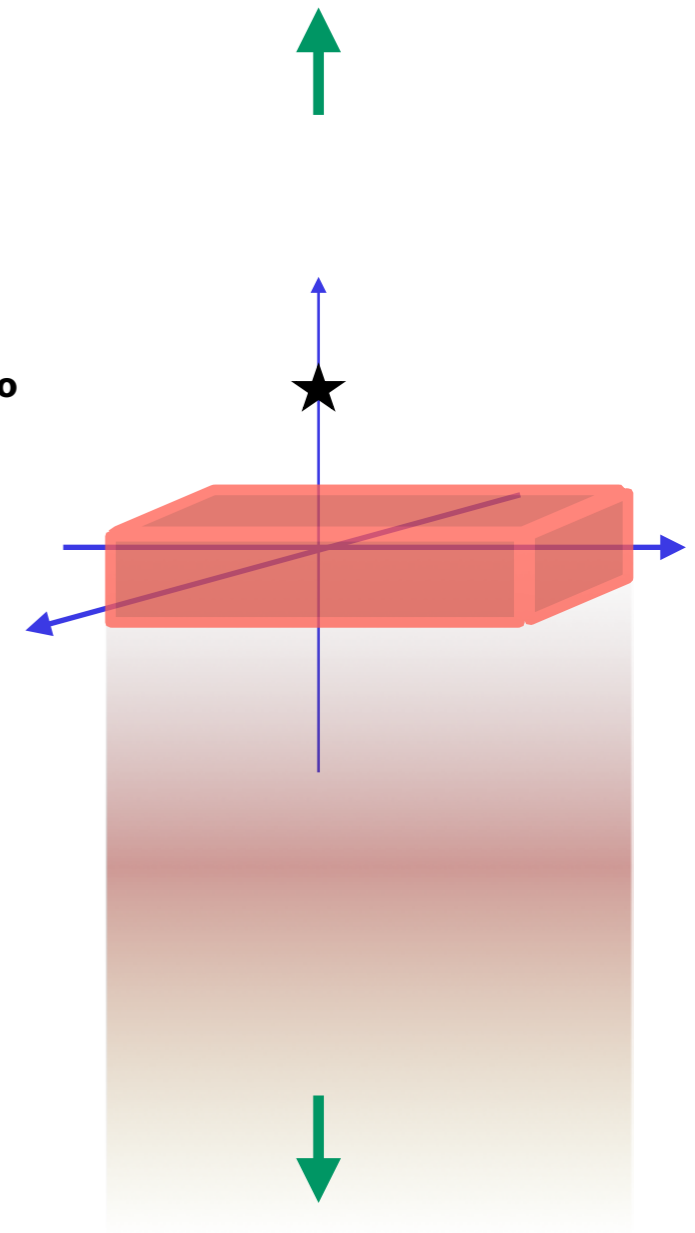
$$A [E_z(z) - E_z(z \rightarrow -\infty)] = \frac{A}{\epsilon_0} \int_{-\infty}^z dz' \rho(z') = \frac{A}{\epsilon_0} \sigma(z) \quad ,$$

onde definimos a **densidade de carga por unidade de área**  $\sigma$ .

- Usando essa definição, obtemos que:

$$E_z + E_{z,\infty} = \frac{\sigma(z)}{\epsilon_0} \quad , \quad \text{onde definimos o campo em } z \rightarrow -\infty \text{ em termos do campo em } z \rightarrow +\infty :$$

$$E_z(z \rightarrow -\infty) \equiv -E_{z,\infty}$$





# Alguns exemplos

Coordenadas Cartesianas:

$$\vec{\nabla} \phi = \hat{x} \frac{\partial \phi}{\partial x} + \hat{y} \frac{\partial \phi}{\partial y} + \hat{z} \frac{\partial \phi}{\partial z}$$

$$\vec{\nabla} \cdot \vec{E} = \frac{\partial E_x}{\partial x} + \frac{\partial E_y}{\partial y} + \frac{\partial E_z}{\partial z}$$

- Agora, vamos assumir que a carga está limitada a uma certa região acima e abaixo do plano  $z = 0$ , de tal forma que metade da carga está acima, e metade da carga está abaixo do plano, e a

$$\text{densidade superficial total é } \sigma_0 = \int_{-\infty}^{\infty} dz \rho(z)$$

- Nesse caso não há diferença entre "acima" e "abaixo", podemos tomar o limite  $z \rightarrow +\infty$  e escrever:

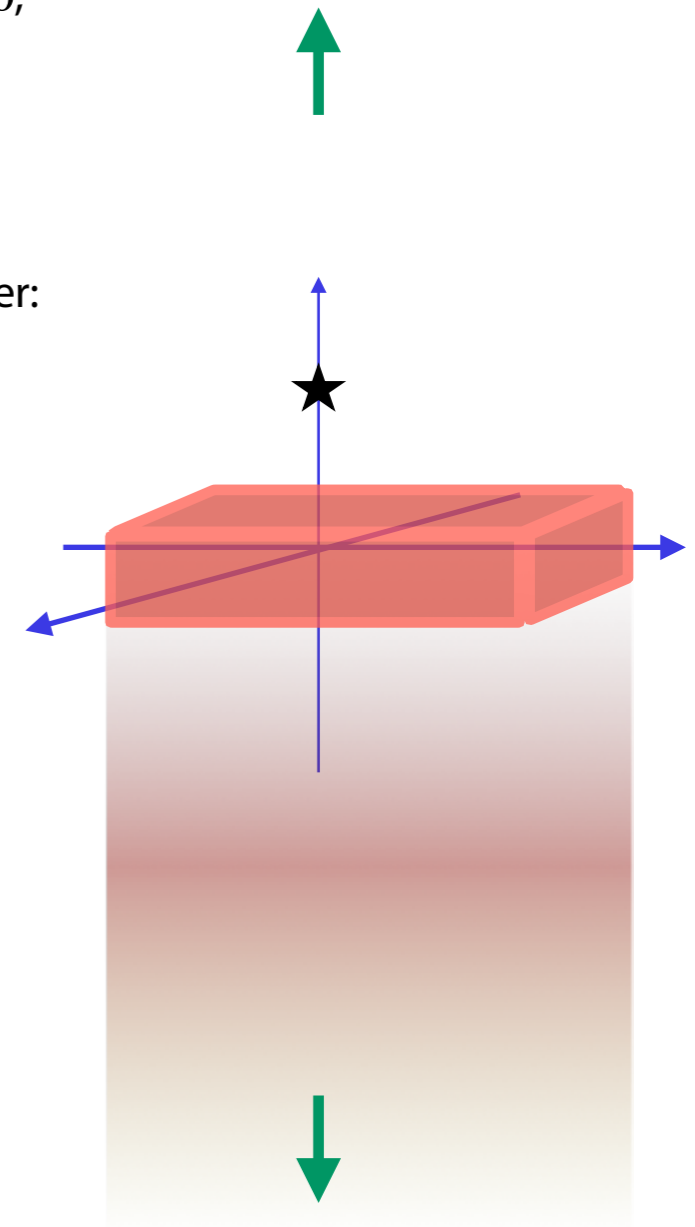
$$E_{z,\infty} - E_{z,-\infty} = 2 E_{z,\infty} = \frac{\sigma_0}{\epsilon_0}$$

$$\implies E_z = \frac{\sigma(z)}{\epsilon_0} - \frac{\sigma_0}{2\epsilon_0} = \frac{1}{\epsilon_0} \left[ \int_{-\infty}^z dz' \rho(z') - \frac{1}{2} \int_{-\infty}^{\infty} dz' \rho(z') \right]$$

- Agora, note que podemos escrever essa expressão na forma:

$$E_z = \frac{1}{\epsilon_0} \left[ \frac{1}{2} \int_{-\infty}^z dz' \rho(z') + \frac{1}{2} \int_{-\infty}^z dz' \rho(z') - \frac{1}{2} \int_{-\infty}^{\infty} dz' \rho(z') \right]$$

$$\implies E_z = \frac{1}{2\epsilon_0} \left[ \int_{-\infty}^z dz' \rho(z') - \int_z^{\infty} dz' \rho(z') \right], \quad \text{que é a nossa expressão mais geral}$$



# Alguns exemplos

- A aplicação mais simples da fórmula acima é um par de planos com cargas iguais e opostas — ou seja, um **capacitor**. Nesse caso temos, na região **entre** as placas:

$$E_z = \frac{\sigma}{2\epsilon_0} - \left( -\frac{\sigma}{2\epsilon_0} \right) = +\frac{\sigma}{\epsilon_0} ,$$

enquanto na região **fora** do capacitor temos:

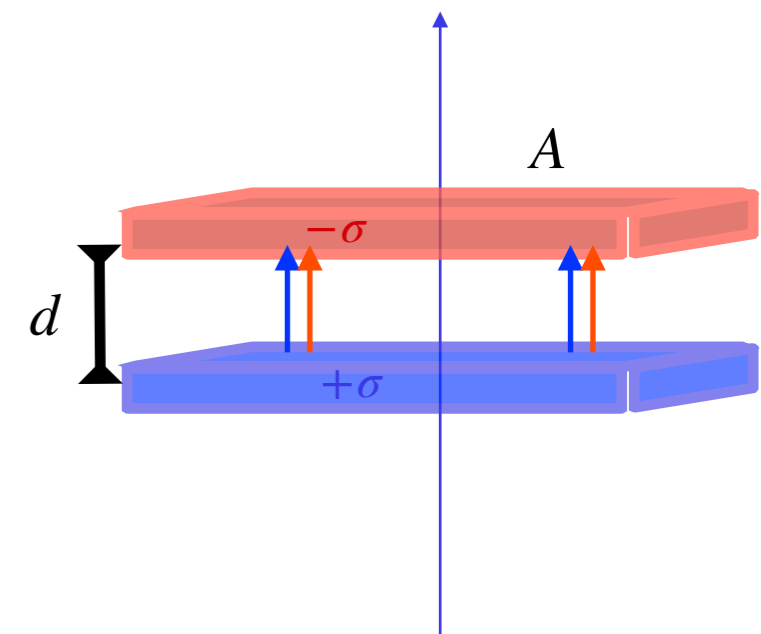
$$E_z = \frac{\sigma}{2\epsilon_0} + \left( -\frac{\sigma}{2\epsilon_0} \right) = 0 .$$

- Portanto, temos o campo dentro do capacitor:

$$E_z = \frac{\sigma}{\epsilon_0}$$

- O potencial elétrico é, portanto:

$$\phi = -\frac{\sigma}{\epsilon_0} z + c , \text{ e a diferença de potencial é } \Delta\phi = \frac{\sigma}{\epsilon_0} d = \frac{q}{A \epsilon_0} d$$



Capacitância:

$$C = \frac{q}{\Delta\phi} = \frac{A\epsilon_0}{d}$$

# Potencial e energia potencial

- A força de um campo elétrico  $\vec{E}$  numa carga  $q$  é dada por:

$$\vec{F} = q \vec{E} \quad \Rightarrow \quad \vec{F} = -\nabla U = q(-\nabla \phi) \quad U = q \phi$$

- Portanto, a **energia potencial** de uma carga dentro desse capacitor é:

$$dU = dq \Delta \phi = dq \frac{q}{C}$$

- À medida que adicionamos mais cargas ao capacitor (trazendo as cargas desde  $\pm \infty$  até as placas), a energia aumenta como:

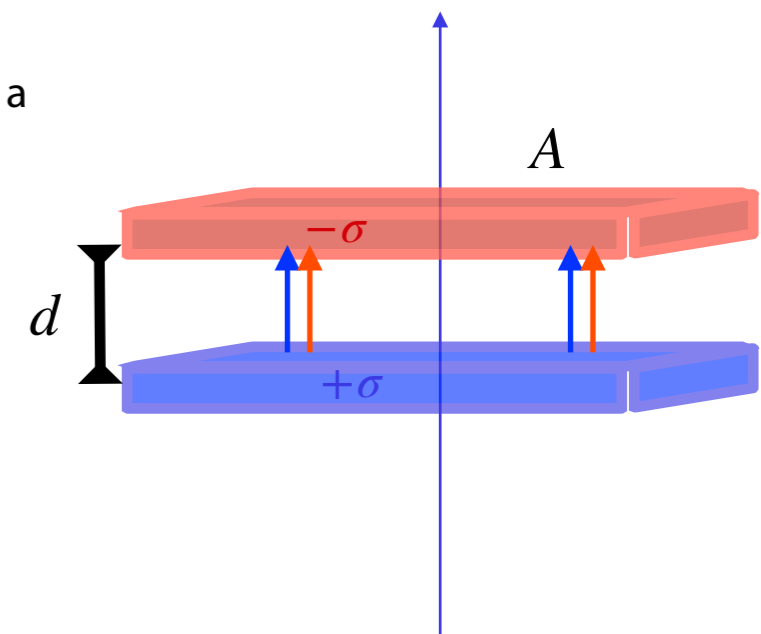
$$U(q) = \int_0^q dq \frac{q}{C} = \frac{1}{2} \frac{q^2}{C}$$

- Mas  $E = q/(A\epsilon_0)$ , portanto  $q = E A \epsilon_0$ , então escrevemos:

$$U(q) = \frac{1}{2} \frac{E^2 A^2 \epsilon_0^2}{\frac{A \epsilon_0}{d}} = \frac{1}{2} \epsilon_0 (A d) E^2 = \frac{1}{2} \epsilon_0 V E^2$$

- Isso significa que a **densidade de energia** do campo elétrico é:

$$\rho_E = \frac{1}{2} \epsilon_0 E^2$$



Capacitance:

$$C = \frac{q}{\Delta \phi} = \frac{A \epsilon_0}{d}$$

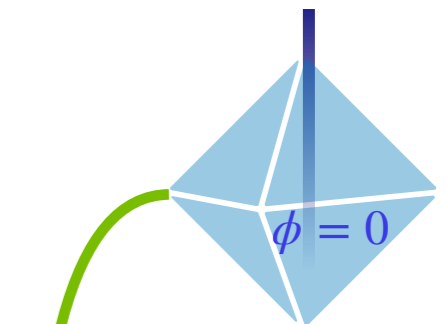
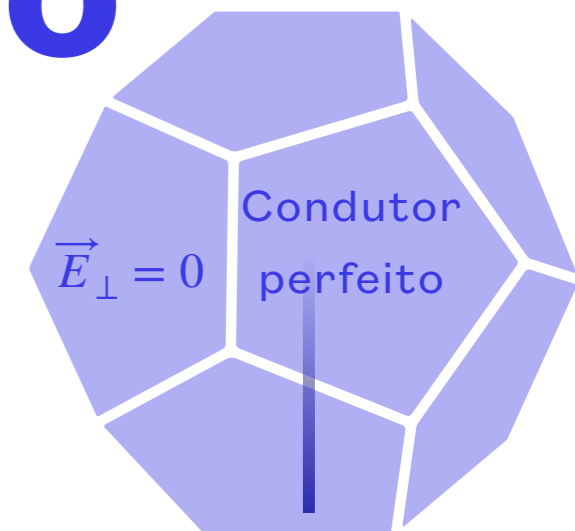
# Condições de contorno

- Nos exemplos tratados acima nós consideramos apenas distribuições de cargas que eram de alguma forma **limitadas** em uma ou mais dimensões, de forma que o **o campo vai a zero no infinito**.
- Nas próximas aulas vamos explorar problemas nos quais introduzimos **condições de contorno não-triviais**, que vinculam os campos sobre alguma superfície.
- Existem **dois tipos** de condições de contorno (C.C.) para um campo escalar numa dada superfície:
  - C.C. de Dirichlet: especificar  $\phi_S$
  - C.C. Neumann: especificar  $(\vec{\nabla}_\perp \phi)_S$
- A razão pela qual necessitamos dessas C.C. remontam à nossa demonstração do Teorema de Helmholtz, e estão encapsuladas no fato de que, dada a Equação de Poisson:

$$\nabla^2 \phi(\vec{x}) = -\frac{\rho(\vec{x})}{\epsilon_0},$$

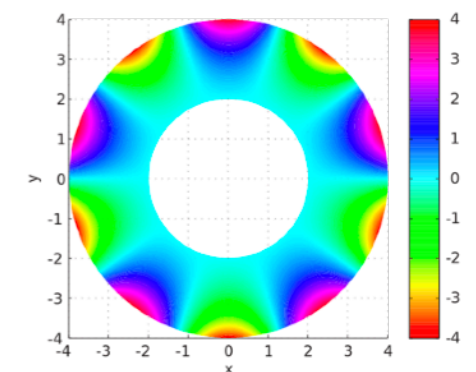
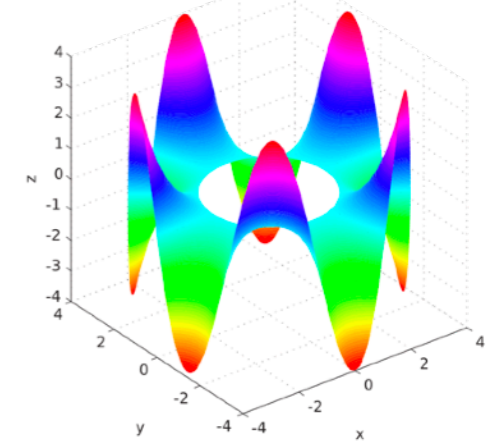
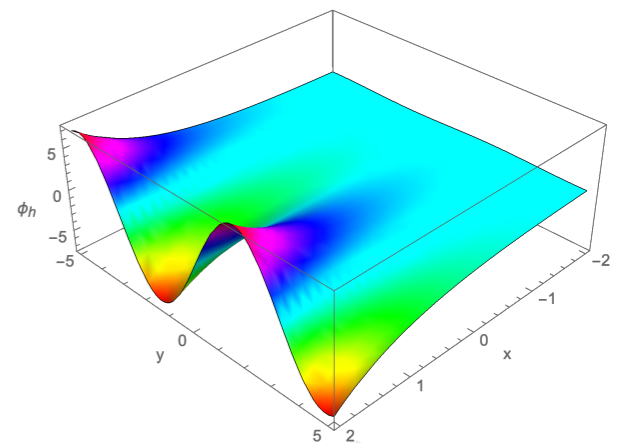
as soluções  $\phi$  desta equação são **degeneradas** — ou seja, podemos sempre **adicionar** a elas uma solução da equação homogênea (a Equação de Laplace):

$$\phi \rightarrow \phi' = \phi + \phi_h, \quad \text{com} \quad \nabla^2 \phi_h(\vec{x}) = 0, \quad \text{que} \quad \nabla^2 \phi = \nabla^2 \phi' = -\frac{\rho}{\epsilon_0}$$



# Condições de contorno e funções harmônicas

- As soluções homogêneas da Eq. de Poisson (ou seja, soluções da Eq. de Laplace) não são únicas. De fato, podemos construir um *espaço funcional* dessas funções, chamadas **funções harmônicas**.
- Aqui um exemplo de solução com simetria planar, além de outras em  $\mathbb{R}^3$ :  
$$\phi_h \rightarrow e^{ax} e^{iay} - e^{ax} e^{-iay} \rightarrow e^{ax} \text{sen } ay$$
- Existe um número infinito de soluções como essa!
- Qualquer combinação de funções harmônicas pode ser adicionada ao potencial, e elas têm o papel de "ajustar" as C.C.
- Se tudo isso parece muito complicado, não se preocupe: nós vamos prestar a devida atenção e toma cuidado com as C.C. de modo natural e intuitivo, sem que você precise calcular explicitamente essas funções harmônicas!



---

# Próxima aula:

- Equações de Laplace e de Poisson
- Separação de variáveis
- Problemas em coordenadas Cartesianas

- Leitura:

**Griffiths, Cap. 2 e 3**

Jackson, Cap. 1 e 2